

北海道大学工学部 正員 ○ 河島克美
 北海道大学工学部 正員 麻吉昭博
 北海道大学工学部 正員 旨原照雄

1. まえがき

アスファルト混合物はそのためみ性および不透水性を利用して、水剤用構造物にも利用されている。しかしこのような構造物は道路・空港舗装とは荷重載荷状態が著しく異なる。つまり小半径でのためみを急激にもたらす自動車荷重等に比べ、水圧が均一ないし緩い変化で長時間に亘り荷重が加えられ、自重も加わって変形し、更には温度応力による亀裂をも生じる。アスファルト混合物の破壊に至る過程に生じる変形等はそこに舗設された混合物の長時間領域におけるクリープ性状や応力緩和性状が問題となると考え、本研究では曲げクリープ試験及び定歪速度曲げ試験を行ない、それから得られる弾性定数で、アスファルト混合物の配合に注目し検討した。左右混合物の配合は一般的の水剤用構造物で使用されているアスファルト混合物(Type A)と、クリープ現象を防ぐためにオイラー一分を多く混入することが望ましいとされていることから、Type A の混合物の0.6mm以下の骨材を重量で50%増加させたアスファルト混合物(Type B)の2種とした。

2. 使用材料

使用アスファルトはストレートアスファルト(Pen 97, TRGB 47.0°C, PI -0.3)であり、混合物の配合は表-1に示す。

3. 試験方法ならびに解析法

3-1 供試体作製法

パインダー粘度が2ボアズの温度で混合し、混合物を30×30×5cmの型枠に投入し、30ボアズの温度に達した時ローラーコンベクタで転圧する。その後室温になるまで冷却し型枠から脱型する。曲げ用供試体はこの混

合物からカットして2.5×2.5×2.5cmを6面カットする。

3-2 試験条件

本研究ではスパン20cmの両端単純支持、中央集中荷重方式による曲げ試験を採用し、試験条件は表-2に示す。

3-3 曲げクリープ試験の解析

自重と中央集中荷重をうけるアスファルト混合物下縁部の応力と歪みクリープコンプライアンスD(ε)は次式の弹性解を用いて計算した。尚、歪5%以内を線型とし τ_0 。

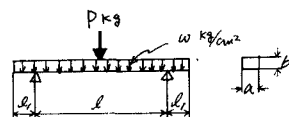
$$\alpha = \frac{3(2pl + wl^2 - 4wl_1^2)}{4ab^2}, \quad \varepsilon(t) = \frac{24d(t)b(2pl + wl^2 - 4wl_1^2)}{3wl^2 - 24wl_1^2 + 8pl^3}$$

$$D(t) = \varepsilon(t)/\alpha$$

	重量 パーセント	Type A	Type B
13 - 10	9.30	6.14	
10 - 7	6.51	4.30	
7 - 5	7.44	4.91	
5 - 2.5	9.30	6.14	
2.5 - 1.2	10.23	6.76	
1.2 - 0.6	10.23	6.76	
0.6 - 0.3	10.23	13.35	
シリカゲンドラム	16.74	25.11	
細目フラー	13.02	19.53	
アスファルト	7.00	7.00	

表-2 試験条件

条件	温度(°C)	応力(kg/cm²)	歪速度(1/sec)
曲げクリープ	15, 20, 25	Type A: 0.36~3.39	
試験	30, 35, 40	Type B: 0.37~4.73	
定歪速度	-10, -5, 0, 5		3.5 × 10⁻³
試験	10, 15, 20		4.1 × 10⁻⁴



3-4 定歪速度曲げ試験の解析

変形のない状態から歪みが一定速度で増加すると時間と共に歪み $\varepsilon = \dot{\varepsilon}t$ となり応力 σ はその時間(まで)k-連の部分的に緩和した応力の重合されたものと考えられる。このように応力-歪関係を、換算応力(σ/α)-換算歪(ε/α)関係と立て表わすと次式のようになる。尚、歪1.0~1.5%以内を線型とし τ_0 。

$$\sigma/\alpha = \int_0^t \int_{-\infty}^{\infty} H e^{-\lambda t} d(\ln \tau) d\mu + E_0 t$$

この換算応力-換算歪曲線を用い換算応力のマスター曲線及び各温度のシフトファクターを得、そのマスタ

一カーブの微係数より緩和弾性率 $E(t)$ が求まり、その正接から stiffness $S(t)$ が求まる。

3-5 クリープコンプライアンスから緩和弾性率への変換

次式によりクリープコンプライアンスと緩和弾性率は関係づけられる。

$$\int_0^t E(t) D(t-\tau) d\tau = t$$

上式の近似的関係は次の仮定により誘導される。すなわち $\log D(t)$ はタイムスケールの広領域において $\log t$ の一次直線で、その勾配は m によって表わされる。その結果次式が得られる。

$$E(t) = \sin m\pi / m\pi D(t)$$

4 試験結果

図-1 は Type A の $D(t)$ -オ曲線とそのマスターカーブ及び Type B のマスターカーブである。尚マスターカーブは歪 5% 以内で作製したものである。温度変化により $D(t)-t$ 曲線は $D(t)$ 軸にほぼ平行に移動する。Type A と Type B を比較すると Type A の方がフィラーモルト量が少ないので $D(t)$ は 10^6 ~ 10^4 sec の時間領域全般に亘り約 15~20% 大きい値をとっている。つまり Type B より約 15~20% 变形しやすいといふことが言える。また本試験条件においては応力レベルの変化による $D(t)$ の変化は見られなかった。図-2 は換算六カのマスターカーブより求めた緩和弾性率 $E(t)$ のマスターカーブである。Type A よりも Type B の方が $E(t)$ の値が大きくその差は長時間領域において大きくなっているが、これは Type B の方が相対的にアスファルトモルト量が少ないので Type A よりも弾性的な性質を示すものと思われる。ここで基準温度を -10°C としたのは、Sull Group 3 によって

研究され提案されたアスファルト性状の合理的な表現方法に基づいたことによる。これによれば温度応力をより生ずる亀裂に関しては、温度 -10°C 、載荷時間 $1/\theta \text{ sec}$ における stiffness を検討することを提案している。本試験において stiffness $S(t)$ は $E(t)$ と短時間領域ではほぼ一致し、長時間領域では $E(t)$ よりも大きくなっている。温度応力をより亀裂に関して、 $S(t)$ だけでではなく、 $E(t)$ によって検討を加えることも必要であると思われる。図-3 は兩試験から求めた緩和弾性率を比較したものである。

5 結論

1). クリープコンプライアンス及び緩和弾性率に関して広い時間領域において得られた。2). クリープコンプライアンスでは Type A、緩和弾性率では Type B の方がその値は大きくなつた。長時間及び高温領域では Type A の方が少しだけ変形しやすく、クリープコンプライアンス、緩和弾性率は混合物の配合に依存する。3). クリープコンプライアンスから緩和弾性率への変換は、定速試験から得られた緩和弾性率とはほぼ一致し、広い時間領域で Type A のマスターカーブを得ることができたが、クリープコンプライアンスから緩和弾性率を求める方法についてもかくはん並びにその線型範囲について十分検討する必要があると思われる。4). 本試験条件でクリープコンプライアンスは応力レベルに依存しない。

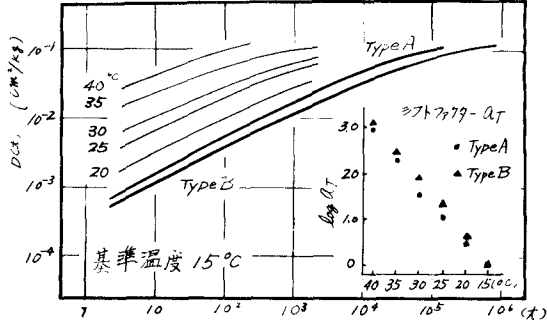


図-1 クリープコンプライアンスのマスターカーブ

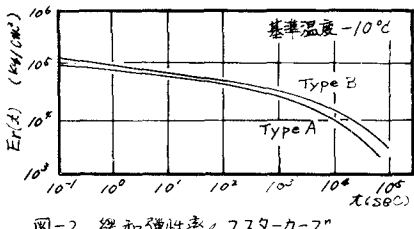


図-2 緩和弾性率のマスターカーブ

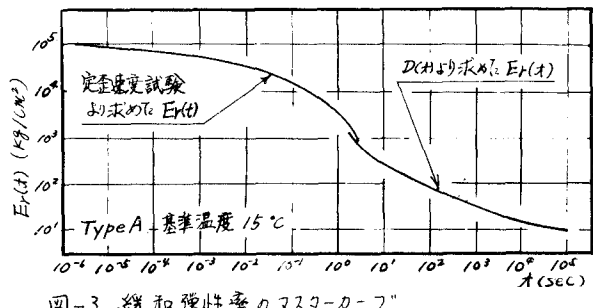


図-3 緩和弾性率のマスターカーブ